

Vorlesungsmitschrift

Quantencomputer

WS

2002/2003

Prof. Dr. Grädel

Jan Möbius, David Bommers

9. Dezember 2002

Inhaltsverzeichnis

1	Einleitung	2
1.1	Historischer Überblick	2
1.2	Experiment	2
1.2.1	Erklärung	3
1.2.2	Messung eines Zustandes	3
1.3	Einige Grundlagen der QM	4
1.3.1	Zustände	4
1.3.2	Hilbertraum	4
1.3.3	Dirac-Notation	4
1.3.4	Qubits	4
1.3.5	n-Qubit System (Quantenregister)	5
1.3.6	Notation	5
1.3.7	Messung	6
1.3.8	Observable	6
1.3.9	Evolution	6
1.3.10	No Cloning Theorem	6
1.4	Quantum Gates und QGA	7
1.4.1	Definition	7
1.4.2	Gates auf 2^1 dimensionalem Hilbertraum (m=1)	7
1.4.3	Gates auf 2^2 dimensionalem Hilbertraum (m=2)	8
1.4.4	Tensorprodukt von Matrizen	11
1.4.5	Hadamard Transformation revisited	12
1.4.6	Quantum Gate Arrays (QGA)	13

Kapitel 1

Einleitung

1.1 Historischer Überblick

- 1982 Richard Feynman :
Spekulation über die Möglichkeit, Quantencomputer zu realisieren, welche gewisse Aufgaben effizienter lösen können als klassische Computer.
inhärente Parallelität in QM-Prozessen
- 1985-93 Deutsch, Bernstein-Vazirani, Yao :
 - Modelle für Quanten-Computer (QTM, Quantum gate arrays)
 - Quanten-Komplexität
 - einfache Algorithmen
- 1994 Peter Shor :
Polynomzeit Algorithmus für QC um natürliche Zahlen zu faktorisieren. Basis : Quanten-Fourier-Transformation
- 1996 Grover :
Suchalgorithmus, der eine Nadel in einem Heuhaufen der Größe N in $O(\sqrt{N})$ Schritten findet.
- 2001 :
QC mit 7 Qubit,
→ $15 = 3 \cdot 5$ (Shor)

Probleme :

- Mehr Algorithmen?
- Welche Probleme kann man mit QC effizient lösen?
- kann man QC vernünftiger Größe bauen?

1.2 Experiment

Polarisierungsfilter: polarisieren Licht horizontal, vertikal, bzw. 45° .

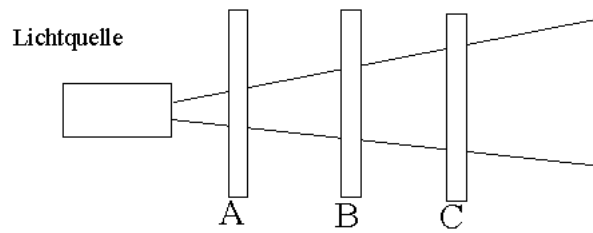


Abbildung 1.1: Experiment

1.2.1 Erklärung

Der Polarisierungszustand eines Photons ist beschrieben durch den Vektor $|\psi\rangle = \alpha|\uparrow\rangle + \beta|\rightarrow\rangle$ in einem zwei-dimensionalen Vektorraum mit der Basis $\{|\uparrow\rangle, |\rightarrow\rangle\}$.

Nur die Richtung ist wesentlich \rightarrow Einheitsvektoren $|\alpha|^2 + |\beta|^2 = 1$

Die Basiswahl ist beliebig. Statt $\{|\uparrow\rangle, |\rightarrow\rangle\}$ geht auch $\{|\nearrow\rangle, |\nwarrow\rangle\}$.

(jedes Paar von orthogonalen Einheitsvektoren ist zulässig).

1.2.2 Messung eines Zustandes

Messung : Projektion bezüglich Orthonormalbasis.

Zu einer Messapparatur gehört eine Basis, wie zum Beispiel $\{|\uparrow\rangle, |\rightarrow\rangle\}$.

Die Messung von $|\psi\rangle = \alpha|\uparrow\rangle + \beta|\rightarrow\rangle$ projiziert $|\psi\rangle$ entweder auf $|\uparrow\rangle$ (mit Wahrscheinlichkeit $|\alpha|^2$) oder auf $|\rightarrow\rangle$ (mit Wahrscheinlichkeit $|\beta|^2$). Nach der Messung ist $|\psi\rangle$ zerstört, transformiert in einen Basiszustand. Jede weitere Messung würde das selbe Resultat ergeben.

Zu verschiedenen Messapparaturen gehören verschiedene ON-Basen.

Polarisierungsfiler bezüglich Polarisierung ζ :

Messung des polarisations Zustands $|\psi\rangle$ bezüglich der Basis $\{\sin\zeta|\uparrow\rangle + \cos\zeta|\rightarrow\rangle, \cos\zeta|\uparrow\rangle - \sin\zeta|\rightarrow\rangle\}$

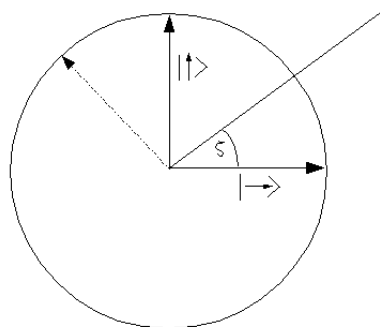


Abbildung 1.2: Messung des Pol. Zustands

Die Photonen, die nach der Messung der Polarisierung entsprechen werden durchgelassen, die anderen reflektiert.

- **Filter A :**

Polarisierung : $|\rightarrow\rangle$

Basis : $\{|\uparrow\rangle, |\rightarrow\rangle\}$

50% der Photonen werden auf $|\rightarrow\rangle$ projiziert und durchgelassen.

- **Filter B :**

Polarisierung : $|\uparrow\rangle$
 Basis : $\{|\uparrow\rangle, |\rightarrow\rangle\}$

- **Filter C :**

Polarisierung : $|\nearrow\rangle$
 Basis : $\{\frac{1}{\sqrt{2}}(|\uparrow\rangle + |\rightarrow\rangle), \{\frac{1}{\sqrt{2}}(|\uparrow\rangle - |\rightarrow\rangle)\}$

Beachte :

- $|\rightarrow\rangle = \frac{1}{\sqrt{2}}(|\nearrow\rangle - |\nwarrow\rangle)$
- $|\uparrow\rangle = \frac{1}{\sqrt{2}}(|\nearrow\rangle + |\nwarrow\rangle)$

Filter B reflektiert alle auf $|\rightarrow\rangle$ polarisierten Photonen. Nun setzt man den Filter C zwischen die Filter A und B. C projiziert die Photonen mit dem Zustand $|\rightarrow\rangle = \frac{1}{\sqrt{2}}|\nearrow\rangle - \frac{1}{\sqrt{2}}|\nwarrow\rangle$ mit der Wahrscheinlichkeit $\frac{1}{2}$ auf $|\nearrow\rangle$. Die durchgelassenen Photonen mit der Polarisation $|\nearrow\rangle = \frac{1}{\sqrt{2}}|\uparrow\rangle + \frac{1}{\sqrt{2}}|\rightarrow\rangle$ wieder mit Wahrscheinlichkeit $\frac{1}{2}$ auf $|\uparrow\rangle$ projiziert und durchgelassen.

1.3 Einige Grundlagen der QM

1.3.1 Zustände

Zustand : vollständige Beschreibung eines physikalischen Systems.
 In QM sind die Zustände Einheitsvektoren in einem Hilbertraum.

1.3.2 Hilbertraum

Hilbert Vektorraum über \mathbb{C} , mit einem inneren Produkt
 $\langle \cdot | \cdot \rangle : H \times H \rightarrow \mathbb{C}$ mit

- $\langle \psi | \phi \rangle = \langle \psi | \phi \rangle^*$
- $\langle \psi | \psi \rangle \geq 0$ und $\langle \psi | \psi \rangle = 0$ gdw. $\psi = 0$
- $\langle \psi | \alpha\phi_1 + \beta\phi_2 \rangle = \alpha\langle \psi | \phi_1 \rangle + \beta\langle \psi | \phi_2 \rangle$

induzierte Norm : $\|\psi\| = \sqrt{\langle \psi | \psi \rangle}$

(Für unendlich-dimensionale Hilberträume ist zusätzlich zu fordern, dass H vollständig ist bezüglich $\|\cdot\|$. Jede Cauchy Folge hat einen Grenzwert in H). **Hier :** (fast) ausschließlich endl.-dimensionale Räume.

1.3.3 Dirac-Notation

$|\psi\rangle$ (ket) (Ausnahme Nullvektor 0 (nicht $|0\rangle$))
 $\langle \phi |$ ist der duale Vektor zu $|\phi\rangle$ (bra)
 $\langle \phi | : H \rightarrow \mathbb{C} ; |\psi\rangle \mapsto \langle \phi | \psi \rangle$

1.3.4 Qubits

- **Bit :**
 elementarer Baustein eines klassischen Rechners mit zwei Zuständen (0 1)
- **Qubit :**
 Superpositionen der beiden Basiszustände $|0\rangle$ und $|1\rangle$ bilden Orthonormalbasis eines Hilbertraums H_2 . Ein Qubit ist ein Vektor $|\psi\rangle = \alpha|0\rangle + \beta|1\rangle$ mit $|\alpha|^2 + |\beta|^2 = 1$.

Die Messung des Qubits ψ führt mit Wahrscheinlichkeit $|\alpha|^2$ zum Zustand $|0\rangle$ und mit Wahrscheinlichkeit $|\beta|^2$ zum Zustand $|1\rangle$. Jede wiederholte Messung führt zum selben Resultat. Obwohl ein Qubit unendlich viele Zustände haben kann, kann man nur ein Bit Information extrahieren. Dieser Extraktionsprozess (Messung) ist probabilistisch.

1.3.5 n-Qubit System (Quantenregister)

Klassisches System mit n Bits hat 2^n Zustände
 $0 \rightarrow 0, 0 \rightarrow 1, \dots, 1 \rightarrow 1$

n-Qubit System hat Basiszustände
 $|0-0\rangle, |0-0\rangle, \dots, |1-1\rangle$
 und kann sich in jeder Subposition
 $\alpha_0|0-0\rangle + \alpha_1|0-0\rangle + \dots + \alpha_{2^n-1}|1-1\rangle$
 befinden, mit $\sum_{n=0}^{2^n-1} |\alpha_n|^2 = 1$

$$H_{2^n} = \underbrace{H_2 \otimes \dots \otimes H_2}_{n \text{ mal}}$$

klassisch: Kolineare Systeme mit Zustandsräumen

V mit Basis v_1, \dots, v_m $V \cap W = 0$

W mit Basis w_1, \dots, w_n

\rightsquigarrow Produktraum $V \times W$ mit Basis $v_1, \dots, v_m, w_1, \dots, w_n$

$$\dim(V \times W) = \dim(V) + \dim(W)$$

hier: Zustandsraum $V \otimes W$ mit Basis

$\{v_i \otimes w_j : i = 1, \dots, m, j = 1, \dots, n\}$

$$\dim(V \otimes W) = \dim(V) \cdot \dim(W)$$

(exp. Wachstum der Dimension in der Anzahl der Komponenten)

1.3.6 Notation

- für $|0\rangle \otimes |0\rangle$ auch $|0\rangle|0\rangle$ oder $|00\rangle$

- $|0-0\rangle$ für $|0\rangle \otimes |0\rangle \otimes \dots \otimes |0\rangle$

- Für jedes Paar: $|\psi\rangle = \sum_i a_i |v_i\rangle$ in V und $|\varphi\rangle = \sum_j b_j |w_j\rangle$ in W

haben wir in $V \otimes W$ den Vektor $|\psi\rangle \otimes |\varphi\rangle = \sum_{i,j} a_i b_j (|v_i\rangle \otimes |w_j\rangle)$

Aber: nicht jeder Vektor $|v\rangle \in V \otimes W$ kann als Produkt $|v\rangle = |\psi\rangle \otimes |\varphi\rangle$ mit $|\psi\rangle \in V, |\varphi\rangle \in W$ geschrieben werden!

Beispiel :

$$|v\rangle = \frac{1}{\sqrt{2}}(|00\rangle + |11\rangle) \in H_2 \otimes H_2$$

es gibt keine $|\varphi_1\rangle, |\varphi_2\rangle \in H_2$ mit $|v\rangle = |\varphi_1\rangle \otimes |\varphi_2\rangle$

Beweis :

sonst existieren $\alpha_1, \alpha_2, \beta_1, \beta_2 \in \mathbb{C}$ mit

$$|v\rangle = (\alpha_1|0\rangle + \beta_1|1\rangle) \otimes (\alpha_2|0\rangle + \beta_2|1\rangle) = \alpha_1\alpha_2|00\rangle + \underbrace{\alpha_1\beta_2}_{=0}|01\rangle + \underbrace{\alpha_2\beta_1}_{=0}|10\rangle + \beta_1\beta_2|11\rangle$$

$$\Rightarrow \alpha_1\alpha_2 = 0 \text{ oder } \beta_1\beta_2 = 0 \quad \nexists$$

Solche nicht-zerlegbaren Zustände heissen **entangled** (verschränkt)

1.3.7 Messung

Messung des ersten Qubits eines n-Bit-Zustands $|\psi\rangle = \sum_{v \in \{0,1\}^n} \alpha_v |v\rangle$ ergibt:

- $|0\rangle$ mit Wahrscheinlichkeit $p = \sum_{w \in \{0,1\}^{n-1}} |\alpha_{0w}|^2$
und projiziert $|\psi\rangle$ auf den Zustand $|0\rangle \otimes \frac{1}{\sqrt{p}} \sum_{w \in \{0,1\}^{n-1}} \alpha_{0w} |w\rangle$
- $|1\rangle$ mit Wahrscheinlichkeit $q = \sum_{w \in \{0,1\}^{n-1}} |\alpha_{1w}|^2$
und projiziert $|\psi\rangle$ auf den Zustand $|1\rangle \otimes \frac{1}{\sqrt{q}} \sum_{w \in \{0,1\}^{n-1}} \alpha_{1w} |w\rangle$
($q = 1 - p$)

1.3.8 Observable

Eigenschaft eines physikalischen Systems, welche prinzipiell messbar ist.

- Zerlegung des Zustandsraums in orthogonale Teilräume:
 $H = E_1 \oplus E_2 \oplus \dots \oplus E_n$ mit $E_i \perp E_j$ ($i \neq j$)
 $|\psi\rangle = |\varphi_1\rangle + |\varphi_2\rangle + \dots + |\varphi_n\rangle$ mit $|\varphi_i\rangle \in E_i$
- Messung bzgl. $\{E_1, \dots, E_n\}$: Projektion von $|\psi\rangle$ auf ein $|\varphi_i\rangle$
- Resultat: $|\varphi_i\rangle$ mit Wahrscheinlichkeit $\|\varphi_i\|^2$

1.3.9 Evolution

Evolution eines qm-Systems via unitärer Transformationen $|\psi\rangle \mapsto U|\psi\rangle$

- U lineare Abbildung von H nach H
- U unitär: $\langle U\varphi | U\psi \rangle = \langle \varphi | \psi \rangle$
- Für die Beschreibung der Transformation durch eine Matrix U bedeutet dies, dass $U^* = U^{-1}$ (U^* konjugiert transponierte Matrix zu U)
- Insbesondere sind unitäre Transformationen **invertierbar** d.h. **reversibel**
→ Berechnungen von QL sind aus reversiblen Basisschritten zusammengesetzt.
(Ausnahme: Messung !)

1.3.10 No Cloning Theorem

Es gibt für $n > 1$, keine unitäre Transformation

Copy : $H_n \otimes H_n \rightarrow H_n \otimes H_n$

so dass für ein $|a\rangle \in H_n$ und alle $|\psi\rangle \in H_n$

$$\text{Copy}(|\psi\rangle \otimes |a\rangle) = (|\psi\rangle \otimes |\psi\rangle) \quad (\text{Notation: } |\psi, \varphi\rangle = |\psi\rangle|\varphi\rangle = |\psi\rangle \otimes |\varphi\rangle)$$

Beweis :

Annahme : Copy existiert.

Für $n > 1$ existiert ein zu $|a\rangle$ orthogonaler Zustand $|\varphi\rangle$

Setze $|\psi\rangle = \frac{1}{\sqrt{2}}(|a\rangle + |\phi\rangle)$

$$\begin{aligned} \text{Copy}(|\Phi\rangle|a\rangle) &= \frac{1}{\sqrt{2}} [\text{Copy}(|a\rangle|a\rangle) + \text{Copy}(|\phi\rangle|a\rangle)] \\ &= \frac{1}{\sqrt{2}} (|a\rangle|a\rangle + |\phi\rangle|a\rangle) \\ &\neq |\psi\rangle|\psi\rangle \\ |\psi\rangle|\psi\rangle &= \frac{1}{\sqrt{2}} (|aa\rangle + |a\phi\rangle + |\phi a\rangle + |\phi\phi\rangle) \end{aligned}$$

1.4 Quantum Gates und QGA

1.4.1 Definition

Ein Quantum Gate auf m Qubits ist eine unitäre Transformation $U : H_{2^m} \rightarrow H_{2^m}$ auf dem $2^m - \dim$ Hilbertraum.

1.4.2 Gates auf 2^1 dimensionalem Hilbertraum ($m=1$)

Gates auf einem Qubit $U : H_2 \rightarrow H_2$

Betrachte Standardbasis $|0\rangle, |1\rangle$ von H_2

$$\begin{aligned} U : |0\rangle &\mapsto a|0\rangle + b|1\rangle \quad \rightsquigarrow \begin{pmatrix} a \\ b \end{pmatrix} \\ |1\rangle &\mapsto c|0\rangle + d|1\rangle \quad \rightsquigarrow \begin{pmatrix} c \\ d \end{pmatrix} \\ &\rightsquigarrow \text{Matrix} \begin{pmatrix} a & c \\ b & d \end{pmatrix} \end{aligned}$$

$$\mathbf{U \text{ unitär :}} \quad \begin{pmatrix} a^* & b^* \\ c^* & d^* \end{pmatrix} \begin{pmatrix} a & c \\ b & d \end{pmatrix} = \begin{pmatrix} 1 & 0 \\ 0 & 1 \end{pmatrix}$$

$$\mathbf{Koordinatendarstellung :} \quad |0\rangle = \begin{pmatrix} 1 \\ 0 \end{pmatrix}, |1\rangle = \begin{pmatrix} 0 \\ 1 \end{pmatrix}$$

Beispiel :

- $M_{\neg} = \begin{pmatrix} 0 & 1 \\ 1 & 0 \end{pmatrix}$ ("not" Gate)
 $M_{\neg}|0\rangle = |1\rangle, M_{\neg}|1\rangle = |0\rangle$
- Sei $M = \frac{1}{2} \begin{pmatrix} i+1 & 1-i \\ 1-i & 1+i \end{pmatrix}$ unitär, da
 $M^*M = \frac{1}{4} \begin{pmatrix} 1-i & 1+i \\ 1+i & 1-i \end{pmatrix} \begin{pmatrix} 1+i & 1-i \\ 1-i & 1+i \end{pmatrix} = \frac{1}{4} \begin{pmatrix} 2 \cdot (1-i^2) & (1-i)^2 + (1+i)^2 \\ (1-i)^2 + (1+i)^2 & 2 \cdot (1-i^2) \end{pmatrix} = \frac{1}{4} \begin{pmatrix} 4 & 0 \\ 0 & 4 \end{pmatrix}$
 $MM = \frac{1}{4} \begin{pmatrix} 1+i & 1-i \\ 1-i & 1+i \end{pmatrix}^2 = \begin{pmatrix} 0 & 1 \\ 1 & 0 \end{pmatrix} = M_{\neg}$
also $M = \sqrt{M_{\neg}}$
- Hadamard (Hadamard-Walsh)
 $H = \frac{1}{\sqrt{2}} \begin{pmatrix} 1 & 1 \\ 1 & -1 \end{pmatrix}$

transformiert Standardbasis $|0\rangle, |1\rangle$ in Hadamard-Basis (Fourier - Basis)

$$|0'\rangle = \frac{1}{\sqrt{2}}(|0\rangle + |1\rangle), \quad |1'\rangle = \frac{1}{\sqrt{2}}(|0\rangle - |1\rangle)$$

und zurück,

$$H|0'\rangle = H \begin{pmatrix} \frac{1}{\sqrt{2}} \\ \frac{1}{\sqrt{2}} \end{pmatrix} = \begin{pmatrix} 1 \\ 0 \end{pmatrix} = |0\rangle$$

$$H|1'\rangle = H \begin{pmatrix} \frac{1}{\sqrt{2}} \\ -\frac{1}{\sqrt{2}} \end{pmatrix} = \begin{pmatrix} 0 \\ 1 \end{pmatrix} = |1\rangle$$

$$S(\text{Phase}) = \begin{pmatrix} 1 & 0 \\ 0 & i \end{pmatrix}$$

$$T = \begin{pmatrix} 1 & 0 \\ 0 & e^{i\frac{\pi}{8}} \end{pmatrix}$$

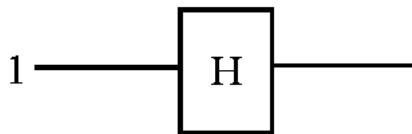


Abbildung 1.3: Quantum Gate (m=1)

1.4.3 Gates auf 2^2 dimensionalem Hilbertraum (m=2)

2-Qubit Gates $U : H_4 \rightarrow H_4$

$$\text{Standard Basis } \begin{matrix} |00\rangle & |01\rangle & |10\rangle & |11\rangle \\ \underbrace{\begin{pmatrix} 1 \\ 0 \\ 0 \\ 0 \end{pmatrix}} & \underbrace{\begin{pmatrix} 0 \\ 1 \\ 0 \\ 0 \end{pmatrix}} & \underbrace{\begin{pmatrix} 0 \\ 0 \\ 1 \\ 0 \end{pmatrix}} & \underbrace{\begin{pmatrix} 0 \\ 0 \\ 0 \\ 1 \end{pmatrix}} \end{matrix}$$

Beispiel : CNOT (controlled-NOT)

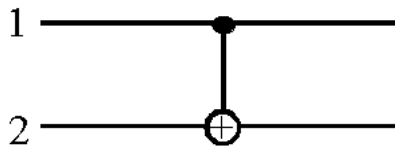


Abbildung 1.4: Notation M_{CNOT}

$$M_{CNOT} = \begin{pmatrix} 1 & 0 & 0 & 0 \\ 0 & 1 & 0 & 0 \\ 0 & 0 & 0 & 1 \\ 0 & 0 & 1 & 0 \end{pmatrix}$$

$$\begin{aligned}
 M_{CNOT}|00\rangle &= |00\rangle \\
 M_{CNOT}|01\rangle &= |01\rangle \\
 M_{CNOT}|10\rangle &= |11\rangle \\
 M_{CNOT}|11\rangle &= |10\rangle
 \end{aligned}$$

$$M_{CNOT} = |ij\rangle = |i \oplus j\rangle$$

Allgemein :

Sei U eine unitäre Transformation auf einem Qubit.

Controlled-U (C-U) Transformation auf zwei Qubits:

$$C-U |ij\rangle = |i\rangle \otimes |j\rangle \text{ if } i \text{ then } U|j\rangle \text{ else } |j\rangle$$

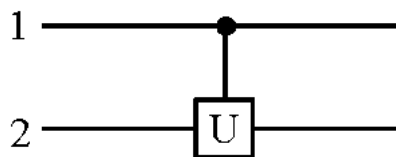


Abbildung 1.5: allgemeine Notation

$$\begin{pmatrix} 1 & & & \\ & 1 & & \\ & & & U \end{pmatrix}$$

Interessantes Gate : C-C-NOT = Toffoli-Gate (Tf)

$$Tf|ijk\rangle = |ij \oplus k\rangle$$

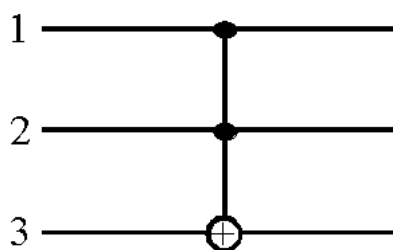


Abbildung 1.6: Notation C-C-NOT

$$\begin{pmatrix} 1 & & & & \\ & \ddots & & & \\ & & 1 & & \\ & & & 0 & 1 \\ & & & 1 & 0 \end{pmatrix}$$

Tf als klassisches Gate :

$$\begin{aligned} \text{Tf} : \{0, 1\}^3 &\rightarrow \{0, 1\}^3 \\ (i, j, k) &\mapsto (i, j, ij \oplus k) \end{aligned}$$

Jeder klassische Schaltkreis kann durch einen Schaltkreis aus Tf-Gates simuliert werden.
Zu $f : \{0, 1\}^n \rightarrow \{0, 1\}^m$ betrachten wir die reversible Funktion

$$\begin{aligned} f' : \{0, 1\}^n \times \{0, 1\}^m &\rightarrow \{0, 1\}^n \times \{0, 1\}^m \\ (x, y) &\mapsto (x, f(x) \oplus y) \end{aligned}$$

Die Menge Ω von reversiblen Gates ist vollständig (für klassische reversible Berechnungen) wenn zu jeder reversiblen Funktion

$g : \{0, 1\}^n \rightarrow \{0, 1\}^n$ ein reversibler Schaltkreis aus Ω -Gates gebaut werden kann, welcher eine Funktion $h : \{0, 1\}^n \times \{0, 1\}^k \rightarrow \{0, 1\}^n \times \{0, 1\}^k$ realisiert, so dass für ein festes $u \in \{0, 1\}^k$
 $h(x, u) = (g(x), v)$

Satz :

{Tf} ist vollständig (für klassische reversible Berechnungen)

Beweis : Jede Funktion kann durch einen klassischen Schaltkreis über { NAND } berechnet werden

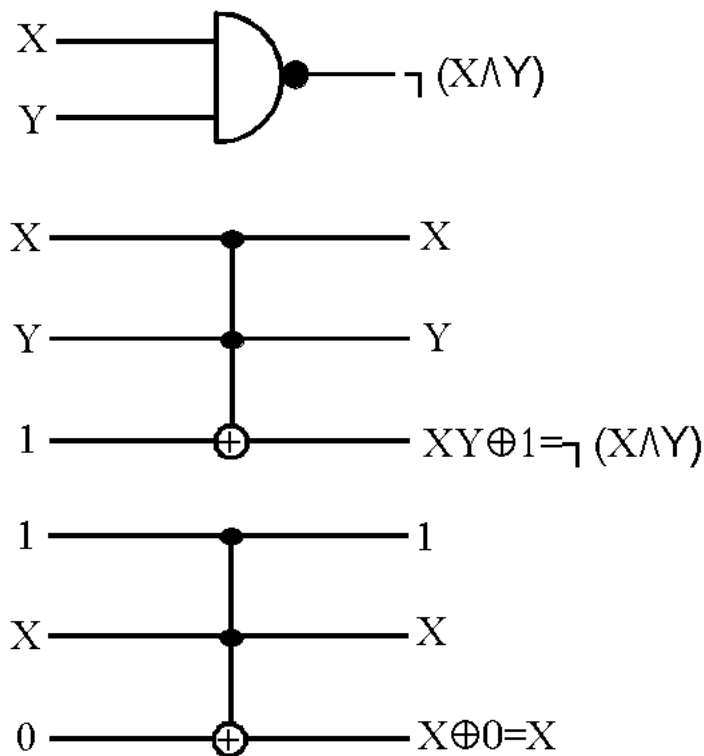


Abbildung 1.7: NAND

$$|ij\rangle \mapsto |i\rangle \otimes |j\rangle \text{ if } i = 0 \text{ then } U|j\rangle \text{ else } |j\rangle$$

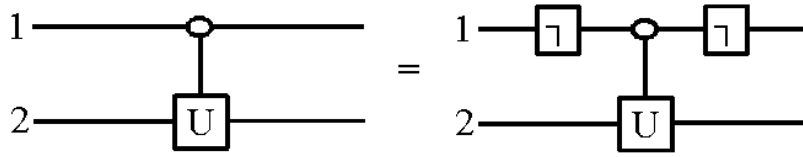


Abbildung 1.8: Kontrolle durch 0 statt 1

1.4.4 Tensorprodukt von Matrizen

Definition :

$$\text{Sei } A = \begin{pmatrix} a_{11} & \cdots & a_{1n} \\ \vdots & \ddots & \vdots \\ a_{m1} & \cdots & a_{mn} \end{pmatrix} \text{ (} mxn\text{)-Matrix}$$

$$B = \begin{pmatrix} b_{11} & \cdots & b_{1s} \\ \vdots & \ddots & \vdots \\ b_{r1} & \cdots & b_{rs} \end{pmatrix} \text{ (} rxs\text{)-Matrix}$$

$$\text{Dann ist die } (mr \times ns)\text{-Matrix } A \otimes B := \begin{pmatrix} a_{11}B & \cdots & a_{1n}B \\ \vdots & \ddots & \vdots \\ a_{m1}B & \cdots & a_{mn}B \end{pmatrix}$$

Seien A, B (2×2)-Matrizen, welche Quanten-Gates auf einem Qubit beschreiben, dann wird die simultane Aktion von A auf dem ersten und B auf dem zweiten Qubit durch die Matrix $A \otimes B$ beschrieben :

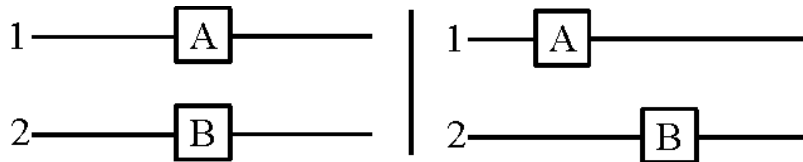


Abbildung 1.9: simultane Aktion

Begründung :

ausrechnen

In den Spalten der Matrix stehen, in Koordinatenschreibweise, die Bilder der Basisvektoren

$$\text{Operation : } \underbrace{|i\rangle \otimes |j\rangle}_{=|ij\rangle} \mapsto A|i\rangle \otimes B|j\rangle$$

$$A = \begin{pmatrix} a_{00} & a_{01} \\ a_{10} & a_{11} \end{pmatrix} \quad B = \begin{pmatrix} b_{00} & b_{01} \\ b_{10} & b_{11} \end{pmatrix}$$

$$\begin{aligned} A|i\rangle \otimes B|j\rangle &= (a_{0i}|0\rangle + a_{1i}|1\rangle) \otimes (b_{0j}|0\rangle + b_{1j}|1\rangle) \\ &= a_{0i}b_{0j}|00\rangle + a_{0i}b_{1j}|01\rangle + a_{1i}(b_{0j}|10\rangle + a_{1i}b_{1j}|11\rangle) \end{aligned}$$

In der zu $|ij\rangle$ gehörenden Spalte der Produktmatrix steht also :

$$\begin{pmatrix} a_{0i} \cdot b_{0j} \\ a_{0i} \cdot b_{1j} \\ a_{1i} \cdot b_{0j} \\ a_{1i} \cdot b_{1j} \end{pmatrix}$$

Dies ist genau die entsprechende Spalte von $A \otimes B$. Dies gilt für Räume beliebiger Dimensionen. Wenn A und B (unitäre) Transformationen auf H_n bzw. H_m beschreiben, dann beschreibt $A \otimes B$ die Operation auf $H_n \otimes H_m$ die der simultanen Kombination der beiden Operationen entspricht (Reihenfolge egal). $A \otimes B$ führt kein Entanglement ein.

Beispiel :

Sei $A = B = H$ (Hadamard)

$$\begin{aligned}
 H \otimes H &= \frac{1}{\sqrt{2}} \begin{pmatrix} 1 & 1 \\ 1 & -1 \end{pmatrix} \otimes \frac{1}{\sqrt{2}} \begin{pmatrix} 1 & 1 \\ 1 & -1 \end{pmatrix} \\
 &= \frac{1}{2} \begin{pmatrix} 1 & 1 & 1 & 1 \\ 1 & -1 & 1 & -1 \\ 1 & 1 & -1 & -1 \\ 1 & -1 & -1 & 1 \end{pmatrix}
 \end{aligned}$$

$$\begin{aligned}
 (H \otimes H)|ij\rangle &= \frac{1}{2}(|0\rangle + (-1)^i|1\rangle) \otimes (|0\rangle + (-1)^j|1\rangle) \\
 &= \frac{1}{2}(|00\rangle + (-1)^j|01\rangle + (-1)^i|10\rangle + (-1)^{i+j}|11\rangle)
 \end{aligned}$$

zerlegbar ($|ij\rangle$ zerlegbar, $H \otimes H$ führt kein Entanglement ein)

Hingegen ist M_{CNOT} kein Tensorprodukt von (2×2) Matrizen.

$$\begin{pmatrix} 1 & 0 & 0 & 0 \\ 0 & 1 & 0 & 0 \\ 0 & 0 & 0 & 1 \\ 0 & 0 & 1 & 0 \end{pmatrix}$$

Betrachte Operation von M_{CNOT} auf zerlegbarem Zustand :

$$\begin{aligned}
 |\psi\rangle &= \frac{1}{\sqrt{2}}(|0\rangle + |1\rangle) \otimes |0\rangle \\
 &= \frac{1}{\sqrt{2}}(|00\rangle + |10\rangle) \\
 M_{CNOT}|\psi\rangle &= \frac{1}{\sqrt{2}}(|00\rangle + |11\rangle) \quad \text{EPR – Paar(entangled)}
 \end{aligned}$$

führt also ein Entanglement ein.

1.4.5 Hadamard Transformation revisited

$$\begin{aligned}
 H &= \frac{1}{\sqrt{2}} \begin{pmatrix} 1 & 1 \\ 1 & -1 \end{pmatrix} \\
 H|0\rangle &= \frac{1}{\sqrt{2}}(|0\rangle + |1\rangle) \\
 H|1\rangle &= \frac{1}{\sqrt{2}}(|0\rangle - |1\rangle)
 \end{aligned}$$

Sei $H^{\otimes n} = \underbrace{H \otimes H \otimes \dots \otimes H}_{m\text{-Mal}} : H_{2^n} \rightarrow H_{2^n}$

$$\begin{aligned}
H^{\otimes n}|0-0\rangle &= H|0\rangle \otimes \dots \otimes H|0\rangle \\
&= \frac{1}{\sqrt{2^n}}(|0\rangle + |1\rangle) \otimes (|0\rangle + |1\rangle) \otimes \dots \otimes (|0\rangle + |1\rangle) \\
&= \frac{1}{\sqrt{2^n}} \sum_{x \in \{0,1\}^n} |x\rangle
\end{aligned}$$

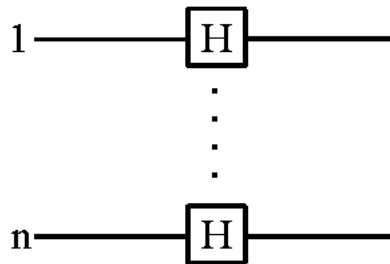


Abbildung 1.10: Hadamard auf mehreren Qubits

Mit linearem Aufwand (n Q-Gates) wird $|0-0\rangle$ in gleichmäßige Überlagerung aller 2^n Basisvektoren transformiert!

1.4.6 Quantum Gate Arrays (QGA)

Sei Ω eine Menge von Quanten-Gates. Ein Quanten Schaltkreis oder Quanten Gate Array(QGA) auf n Qubits ist eine unitäre Transformation $U : H_{2^n} \rightarrow H_{2^n}$, welche aus Q-Gates aus Ω zusammengesetzt ist.

Basisoperation :

Wende Gate G auf Qubits i_1, \dots, i_m an.

$$\text{m=2 : } \underbrace{G}_{(4 \times 4)\text{-Matrix}(2\text{-Qubits})} \otimes I_{2^{n-2}}$$

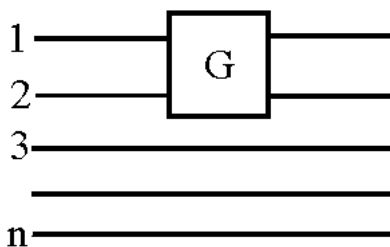


Abbildung 1.11: Basisoperation

$$P_{i_1 i_2}^{-1} (G \otimes I_{2^{n-2}}) P_{i_1 i_2}$$

$P_{i_1 i_2}$: Permutation, welche Qubits i_1, i_2 auf Qubits 1,2 vertauscht.

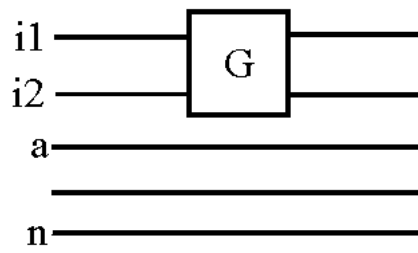


Abbildung 1.12: Basisoperation mit Permutation

Index

Basisoperation, 13

C-C-NOT, 9

C-U, 9

CNOT, 8

controlled U, 9

controlled-NOT, 8

Dirac-Notation, 4

entangled, 5

Entanglement, 5

Evolution, 6

Hadamard, 7, 12

Hilbertraum, 4

induzierte Norm, 4

Koordinatendarstellung, 7

Messung, 3, 6

n-Qubit System, 5

No Cloning Theorem, 6

Notation, 5

Observable, 6

Polarisierungsfilter, 2

QGA, 13

Quantum Gate, 7

Quantum Gate Array, 13

Qubit, 4

Tensorprodukt von Matrizen, 11

Tf-Gate, 9

Toffoli-Gate(Tf), 9

unitär, 7

Zustand, 4

Abbildungsverzeichnis

1.1	Experiment	3
1.2	Messung des Pol. Zustands	3
1.3	Quantum Gate (m=1)	8
1.4	Notation M_{CNOT}	8
1.5	allgemeine Notation	9
1.6	Notation C-C-NOT	9
1.7	NAND	10
1.8	Kontrolle durch 0 statt 1	11
1.9	simultane Aktion	11
1.10	Hadamard auf mehreren Qubits	13
1.11	Basisoperation	13
1.12	Basisoperation mit Permutation	14